

## رفتار مکانیکی رزین پلی استر و بتن پلیمری در بارگذاری های استاتیکی و دینامیکی

محمود مهرداد شکریه<sup>\*</sup> (استاد)

سینا رضوانی (دانشجوی کارشناسی ارشد)

دانشکده‌ی مهندسی مکانیک، دانشگاه علم و صنعت ایران

رضا مسلمانی (استادیار)

گروه مهندسی مکاتیم، دانشکده‌ی مهندسی، دانشگاه شهید چمران اهواز

در این نوشتار با استفاده از رزین پلی استر ترکیب جدیدی برای کاهش هزینه‌ی ساخت بتن پلیمری ارائه شده است. مقایسه‌ی خواص مکانیکی بتن ارائه شد؛ با بتنهای پلیمری اپوکسی نشان می‌دهد که علی‌رغم کاهش قابل توجه هزینه‌های تولید، ترکیب جدید دارای خواص مکانیکی مطلوبی است برای مطالعه‌ی تاثیر اجزای سازنده بر خواص مکانیکی ترکیب نهایی، رفتار مکانیکی بتن پلیمری ارائه شده در فشار و خشون، مطالعه و با رفتار مکانیکی رزین پلی استر خالص مقایسه شد. تابع آزمایشگاهی نشان‌گر افزایش پیوسته‌ی خواص استحکامی رزین پلی استر (افرایش ۴۱ درصدی استحکام کششی) و بتن پلیمری (افرایش ۲۷ درصدی استحکام فشاری)، با افزایش نزد بارگذاری از ۱/۰ تا ۹۰ میلی‌متر بر ثانیه است. با توجه به رفتار وابسته به نزد کرنش رزین پلی استر به عنوان یکی از اجزای اصلی سازنده‌ی بتن پلیمری، حساسیت به نزد کرنش بتن قابل توجیه است. اگرچه میزان وابستگی به نزد کرنش بتن پلیمری کم‌تر است

shokrieh@iust.ac.ir  
sina\_rezvani@iust.ac.ir  
mosalmani@scu.ac.ir

وازگان گلیدی: بین پلمری، رزین پلی، استر، رفتار دینامیکی، نرخ کرنش:

## ۱. مقدمه

برابر محیط‌های خورنده و شیمیابی است.<sup>[۶]</sup> با داشتن این ویزگی‌ها، بتن پلیمری در بسیاری از کاربردها از جمله ساخت‌وساز و کاربردهای ساختاری مهندسی مانند کف‌سازی اتوپان‌ها، بدنه‌ی پل‌ها، لوله‌های فاضلاب، پل‌های ساختاری و تریمی و پوشش ترک ساختارهای بتنی به طور روز افزون جایگزین بتن سیمانی می‌شود.<sup>[۷]</sup> به عنوان مثال، اخیراً بخشی از صفحه‌های زیرین سیستم تصوفی آب تهران، با طراحی و ساخت صفحه‌های بتن پلیمری جایگزین شد.<sup>[۸]</sup> افزایش هزینه‌ی ساخت و محدودیت استفاده در دماهای بالا با توجه به رزین مورد استفاده، از محدودیت‌های بتن پلیمری است. همچنین چون رزین‌های مورد استفاده در تولید این نوع بتن در آب قابل حل نیستند، ساخت آن به مراتب مشکل‌تر از بتن سیمانی است.<sup>[۹]</sup>

ترکیب‌ها، ویزگی‌ها و کاربردهای مختلف بتن پلیمری بسیار گسترده است.<sup>[۱۰-۱۴]</sup> کاربرد و عملکرد بتن پلیمری علاوه بر نوع رزین مورد استفاده، به نوع و اندازه‌ی سندگانه بستگی دارد.<sup>[۱۵]</sup> توزیع سندگانه‌ها باید بهگونه‌ی باشد که پس از یخت بتن، حباب‌ها و فضاهای خالی کمینه باشد.<sup>[۱۶]</sup> مطالعه در مردم مقاومت مکانیکی بتن پلیمری ساخته شده با رزین اپوکسی و پودر سیلیکا به عنوان پرکننده<sup>[۱۷]</sup> نشان داد که استحکام فشاری بتن پلیمری با ترکیب پیشنهادی در بهترین حالت، ۴ برابر استحکام فشاری بتن‌های سیمانی با استحکام معمولی است. همچنین برسی پایایی مکانیکی بتن پلیمری بهینه ساخته شده با رزین اپوکسی و با تمرکز بر استحکام کششی و حقنمگی، شکست تحت سه جرخدی دمایی مختلف<sup>[۱۸]</sup> نشان داد که حقنمگی،

در سال ۱۹۷۱ میلادی برای اولین بار از پلیمر در ساخت بتن استفاده شد. بدليل بهبود چشمگیر خواص مکانیکی بتن‌های ساخته شده از پلیمر نسبت به بتن‌های سیمانی معمول، کاربرد این بتن‌ها به سرعت گسترش یافت. با توجه به چگونگی کاربرد پلیمر در ساخت بتن، می‌توان این بتن‌ها را به چهار دسته تقسیم کرد: بتن پلیمر - سیمان، بتن آغشته شده با پلیمر، بتن پلیمر - گوگرد، و بتن پلیمری.<sup>[۱]</sup> بتن پلیمری ماده‌ی کامپوزیتی است که از ترکیب سندگانه‌های معدنی مانند ماسه یا شن با یک موونمر ساخته می‌شود. بتن پلیمری در مجموع دارای خواص مکانیکی بهتری نسبت به بتن سیمانی معمولی است. از جمله این خواص می‌توان به مقاومت فشاری بسیار بالای بتن پلیمری<sup>[۲]</sup> - بالاتر از مقاومت بتن سیمانی معمولی - و نیز مقاومت کششی و خمشی بهتر این بتن نسبت به بتن سیمانی معمولی<sup>[۳]</sup> اشاره کرد. نفوذپذیری بالا مقاومت سایشی کم، مقاومت کم در برای بین‌دان، زمان گیری‌باش زیاد و پدیده‌ی اهیان حفره‌بندی (کاویتاپسون) و خوردگی ناشی از نفوذ کار از جمله نقاط ضعف بتن سیمانی است؛ اما در بتن پلیمری همه‌ی این ضعف‌ها به مقدار قابل توجهی کاهش یافته است.<sup>[۴]</sup> همچنین بدليل چگالی کمتر، بتن پلیمری بارهای دینامیکی وارد را بهتر از بتن سیمانی معمولی تحمل می‌کند.<sup>[۵]</sup> یکی از ویزگی‌های برجسته‌ی بتن پلیمری نسبت به بتن سیمانی معمولی، مقاومت بسیار بالای آن در توپسینه مسئول

١٢ - ملخص المحتوى

تاریخ: ۱۳۹۲/۱۱/۲۸، اصلاحه ۱۱، ۱۳۹۳/۶/۲۲، بافت ۱۳۹۳/۱۱/۲۸، پذیرش:

جدول ۱. مشخصات فیزیکی رزین پلی استر استفاده شده.

مشخصات فیزیکی	
چگالی (kg/m <sup>3</sup> )	۱۰۵
گرانزوی در دمای ۲۵°C (mPa.s)	۶۰۰
زمان ذل شدن (دقیقه)	۲۷
عمر نگهداری (ماه)	۶
دماهی اعوجاج حرارتی (°C)	۸۰



شکل ۱. نمونه‌های کششی کوچک رزین پلی استر مطابق با استاندارد Type V. ASTM D638

رفتار کششی و فشاری پلیمرها شدیداً وابسته به نرخ بارگذاری است.<sup>[۲۰-۲۱]</sup> با توجه به مشکلات موجود در آزمایش فشاری نمونه‌های پلیمری از قبیل پدیدهی بشکه‌بی شدن (درنتیجه نیاز به اندازه‌گیری پیوسته‌ی قطر نمونه در طول آزمایش برای به دست آوردن تشش و کرنش واقعی)، مطالعه‌ی رفتار فشاری رزین‌های پلیمری در نرخ‌های کرنش استاتیکی و دینامیکی بسیار دشوار است. البته نشان داده شده که با استفاده از خواص مکانیکی پلیمرها در کشش، می‌توان خواص فشاری آن‌ها را تخمین زد.<sup>[۲۲]</sup> با دانستن استحکام کششی و ضربی پواسون رزین<sup>[۲۳]</sup>، با استفاده از رابطه‌ی ۱ می‌توان استحکام فشاری رزین را برآورد کرد:

$$\log \frac{\sigma_{\max}(\text{compressive})}{\sigma_{\max}(\text{tensile})} = 2.2 - 5.1 \quad (1)$$

بنابراین در این تحقیق، رفتار کششی رزین در نرخ کرنش‌های دینامیکی بوسیله شد و با استفاده از نتایج آزمایش‌های کششی و رابطه‌ی ۱، تخمینی از استحکام فشاری رزین در نرخ‌های بارگذاری مختلف به دست آمد، و از آن به منظور مقایسه‌ی رفتار دینامیکی رزین خالص و بن پلیمری و همچنین توجیه رفتار وابسته به نرخ کرنش بن پلیمری استفاده شده است.

به منظور بوسیله رفتار مکانیکی رزین پلی استر در نرخ کرنش‌های دینامیکی، از نمونه‌های کششی استاندارد با طول مؤثر ۱۰ میلی‌متر استفاده شد (شکل ۱). این نمونه‌ها در مقایسه با نمونه‌های کششی متداول، طول مؤثر کمتری دارند. اثر کوچک شدن نمونه، با مقایسه‌ی رفتار مکانیکی نمونه‌های کوچک با نمونه‌های بزرگتر (شکل ۲) با طول مؤثر ۵ میلی‌متر که طبق استاندارد ASTM D638 ساخته شده، در نرخ کرنش شبه‌استاتیکی بوسیله شد. نتایج به دست آمده از آزمایش دو نمونه، نشان‌گر بی‌اثر بودن کوچک شدن نمونه بر رفتار مکانیکی است.

به منظور بوسیله رفتار خمشی رزین پلی استر نیز نمونه‌های مکعب مستطیلی

شکست و استحکام کششی بن پلیمری مورد آزمایش با افزایش دمای میانگین چرخه‌ی دما کاهش می‌یابد. در بررسی تأثیرات از هم پاشیدگی شیمیایی بر استحکام خمشی و فشاری بن پلیمری ساخته شده با رزین اپوکسی،<sup>[۱۸]</sup> کاهش استحکام خمشی و فشاری بن پلیمری کاهش‌یافته نیز بسیار بیشتر از استحکام خمشی و فشاری بن‌های سیمانی معمول بود.

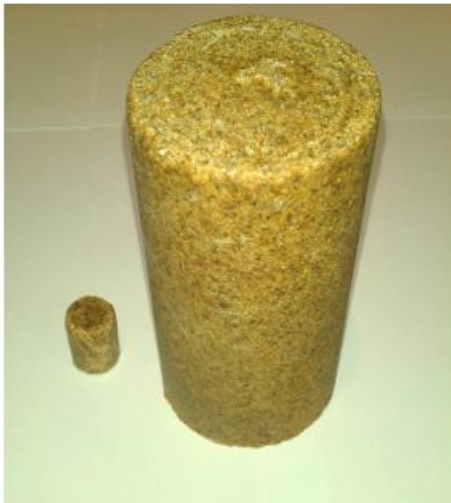
رفتار مکانیکی بن پلیمری در نرخ بارگذاری‌های دینامیکی به صورت محدود مورد مطالعه قرار گرفته است.<sup>[۱۹]</sup> محققین مطالعه‌ی از رفتار دینامیکی بن دارای زمینه‌های ارگانیک (وینیل‌استر و اپوکسی) را گزارش کردند. در ساخت این بن‌ها از دانه‌های سیلیسی و خاک چینی استفاده شده است. نمونه‌ها به صورت فشار تکمحوری یا استفاده از یک جرم استوانه‌ی ۳۰۸ کیلوگرمی که با سرعت‌های بین ۰ تا ۵ متر بر ثانیه از یک تنفس با هوای فشرده پرتاب می‌شد مورد آزمایش قرار گرفت. نرخ کرنش در این آزمایش‌ها بین ۰/۵ تا ۱۰ بر ثانیه و نرخ تشش بین ۲۵ تا ۴۵ گیگاپاسکال بر ثانیه گزارش شد. در انتها این نتیجه حاصل شد که در نرخ کرنش‌های مورد بررسی، افزایش نرخ کرنش به افزایش استحکام فشاری می‌نجامد. برای شناخت رفتار یک کامپوزیت، مطالعه‌ی رفتار اجزای سازنده آن ضروری است تا از این طریق امکان مدل‌سازی، شبیه‌سازی و پیش‌بینی رفتار مکانیکی آن از دید مایکرومکانیکی فراهم شود. همچنین مطالعه‌ی اجزای سازنده به طراحی و تولید ماده‌ی کامپوزیتی مناسب و بهینه، متناسب با شرایط مورد نظر کمک می‌کند. بن پلیمری نیز به عنوان ماده‌یی مرکب شامل رزین به عنوان ماده‌ی زمینه است. بنابراین بررسی رفتار بن پلیمری تحت بارگذاری دینامیکی، مطالعه‌ی رفتار دینامیکی رزین حائز اهمیت فراوان است.

در این نوشтар برای کاهش هزینه‌های ساخت، ترکیب جدیدی برای ساخت بن پلیمری ارائه شده که در آن به جای استفاده از مخلوط سنگانه‌های درشت و پرکنده، فقط از ماسه استفاده شده است: براساس مطالعات نگارنگان، تاکنون این ترکیب بررسی نشده است. هدف اصلی این مقاله بررسی رفتار دینامیکی رزین پلی استر و بن پلیمری در نرخ کرنش‌های متفاوت و مقایسه‌ی نسبی آن هاست. همچنین رفتار خمشی رزین پلی استر و بن پلیمری در نرخ کرنش شبه‌استاتیکی مورد مطالعه قرار گرفته است. در انتها نیز به منظور ارزیابی ترکیب پیشنهادی، مقایسه‌ی میان رفتار مکانیکی بن پلیمری مورد مطالعه با یک نمونه بن پلیمری اپوکسی و همچنین بن‌های سیمانی معمول انجام شده است.

## ۲. ساخت نمونه‌ها

### ۱.۲. نمونه‌های رزین پلی استر

رزین پلی استر مورد استفاده از نوع ایزوفتالیک ۷۵۱۱۲۹ Bushepol و از تولیدات کارخانه صنایع شیمیایی بوشهر است. از ویژگی‌های مهم این رزین، مقاومت استثنایی در برای خوردگی در مقابل آب دریاست. این رزین در ساخت قطعات ساختمان قایق‌ها، لوله‌ها، تجهیزات بهداشتی، استخراج‌های شنا، جکوزی و غیره کاربرد گسترده‌ی دارد. مونومر این رزین «استایرن» است و بهارای هر ۱۰۰ گرم رزین، باید ۱/۱ میلی‌لیتر پراکسید ۰/۰۹ میلی‌لیتر کیالت برای ترکیب در دمای ۲۵ درجه سلسیوس به آن اضافه شود. ضربی پواسون رزین<sup>[۲۴]</sup> است. دیگر مشخصات فیزیکی این رزین از طریق شرکت سازنده در اختیار ما قرار داده شده و در جدول ۱ آمده است.



شکل ۴. نمونه‌های بزرگ و کوچک آزمایش فشاری بتن پلیمری.



شکل ۵. نمونه‌ی خمث سه نقطه‌ی بتن پلیمری.

نمونه‌های استوانه‌یی کوچک با قطر ۲ و طول ۳ سانتی‌متر مطابق شکل ۴ استفاده شد. اثر کوچک شدن نمونه با مقایسه‌ی رفتار مکانیکی نمونه‌های کوچک با نمونه‌های بزرگتر (شکل ۴) با قطر ۷/۵ و طول ۱۵ سانتی‌متر که طبق استاندارد ASTM C۳۹-۴۹ ساخته شده‌اند<sup>[۱۶]</sup> در نزخ کرنش شباهتیکی بررسی شد. همانند نمونه‌های رزین پلی‌استر نتایج مشابه به دست آمده از دو نمونه‌ی کوچک و بزرگ بتن پلیمری، نشان‌گر عدم تأثیر کوچک شدن نمونه بر رفتار مکانیکی است. به‌منظور بررسی رفتار خمثی بتن پلیمری نیز از آزمایش خمث سه نقطه مطابق با استاندارد ASTM C۲۹۳-۵۵۴T استفاده شد<sup>[۱۷]</sup> که در آن قطعات مکعب مستطیلی به ابعاد ۷۵ × ۷۵ × ۴۰۰ میلی‌متر (شکل ۵) تحت خمث قرار می‌گیرند.

### ۳. آزمایش‌ها

#### ۱. آزمایش‌های کششی و خمثی رزین پلی‌استر

تمامی آزمایش‌های کششی و خمثی رزین و بتن پلیمری توسط دستگاه آزمایش یونیورسال ستام-۱۵۰ ASTM با ظرفیت ۱۵ تن انجام گرفته است. رفتار رزین در چهار نزخ کرنش (برای هر نزخ کرنش چهار نمونه مورد آزمایش قرار گرفت). در شکل ۶ یک نمونه کشش کوچک در حال انجام آزمایش نشان داده شده است.

در شکل ۷ تصویر تعدادی از نمونه‌های پلیمر خالص بعد از انجام آزمایش کشش و نمونه‌ی سالمی از آن آورده شده است. بررسی سطح شکست نمونه‌های رزین نشان می‌دهد که رفتار این رزین ترد است.



شکل ۲. نمونه‌ی کششی بزرگ رزین پلی‌استر مطابق با استاندارد Type I ASTM D۶۳۸.



شکل ۳. نمونه‌های خمث سه نقطه‌ی رزین پلی‌استر.

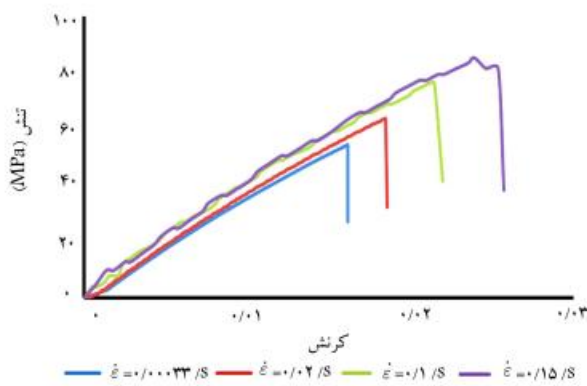
جدول ۲. تجزیه‌ی شیمیایی ماسه‌ی سیلیسی مورد استفاده در این تحقیق.<sup>[۲]</sup>

مواد تشکیل دهنده	درصد
SiO <sub>2</sub>	۹۶-۹۸/۱۱
Fe <sub>2</sub> O <sub>3</sub>	۰-۰/۷
Al <sub>2</sub> O <sub>3</sub>	۰/۵۱-۱/۶۵
CaO	۰/۴-۰/۷
Na <sub>2</sub> O	۰/۰۳-۰/۰۸
K <sub>2</sub> O	۰/۰۹-۰/۱۵

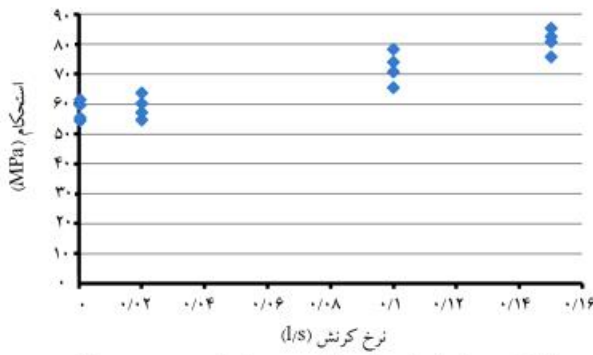
خمث سه نقطه با طول مؤثر ۶۰ میلی‌متر مطابق استاندارد ASTM D۷۹۰ ساخته شد (شکل ۳)<sup>[۱۸]</sup>.

#### ۲. نمونه‌های بتن پلیمری

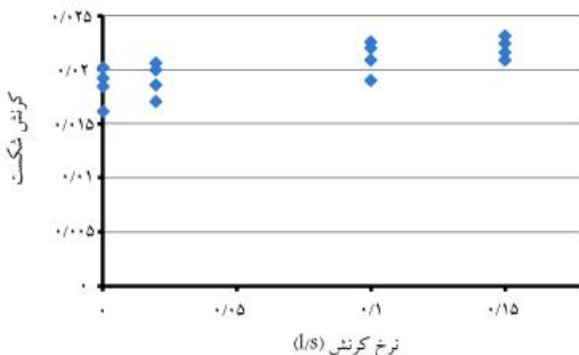
برای ساخت نمونه‌های بتن پلیمری، ابتدا ماسه را شسته و خشک می‌کنند. رزین را با کیالت به‌طور کامل مخلوط و سپس به آن پراکنید اضافه می‌کنند. سپس ترکیب حاصل را روی ماسه‌ها ریخته و با دققت هم می‌زنند تا ماسه‌ها به‌طور یکتاخت در رزین پخش شود. سپس مخلوط ماسه و رزین را درون قالب‌ها ریخته و به مدت ۷ روز در دمای اتاق می‌پزند. قالب‌های مورد استفاده کامپوزیتی است و به‌منظور نچسبیدن بتن به قالب، دیواره‌ها و کف قالب را پیش از ریختن بتن با یک فیلم نازک از جنس پلی‌الفن می‌پوشانند. در این تحقیق به‌منظور ساخت بتن از ترکیب ۲۵ درصد وزنی رزین و ۷۵ درصد وزنی ماسه‌ی سیلیسی استفاده شده است. بتن پلیمری مورد مطالعه در این تحقیق از ترکیب رزین پلی‌استر اشاره شده و ماسه‌ی سیلیسی حاصل شده است. نوع سنگدانه‌یی که عمدها در ساخت بتن پلیمری کاپرد دارد، ترکیبات سیلیسی است که علت آن سازگاری با رزین و چسبندگی خوب بین این نوع سنگدانه و رزین‌های مرسوم مورد استفاده در بتن پلیمری است. سنگدانه‌ی مورد استفاده در این تحقیق نیز ماسه‌ی سیلیسی و محصول شرکت ماسه‌ی ریخته‌گری دماوند است. این نوع مصالح در بازار به عنوان مستحکم‌ترین نوع ماسه شناخته می‌شود. تجزیه‌ی شیمیایی این نوع ماسه در جدول ۲ آمده است. برای بررسی رفتار مکانیکی بتن پلیمری در نزخ کشش‌های دینامیکی از



شکل ۸. نمودار تنش - کرنش نمونه‌های رزین پلی استر در نزخ کرنش‌های مختلف تحت کشش.



شکل ۹. نمودار تغییرات استحکام رزین پلی استر بر حسب نزخ کرنش.



شکل ۱۰. نمودار تغییرات کرنش شکست رزین پلی استر بر حسب نزخ کرنش.

چهار نمونه خمین سه نقطه‌ی رزین پلی استر با سرعت ۱۶ میلی‌متر بر دقیقه تحت آزمایش قرار گرفت؛ شکل ۱۱ یک نمونه خمینی به هنگام انجام آزمایش و شکل ۱۲ نمودار نیرو بر حسب جایه‌جایی در مرکز یک نمونه خمینی رزین پلی استر را نشان می‌دهد.

نتایج حاصل از آزمایش روی چهار نمونه در جدول ۳ آمده است. استحکام خمینی با استفاده از رابطه‌ی ۲ به دست آمده است:

$$\sigma_{m,flexural} = \frac{3PL}{2bd^3} \quad (2)$$

که در آن  $\sigma_{m,flexural}$  استحکام خمینی،  $P$  نیروی اعمالی بیشینه،  $L$  طول مؤثر نمونه،  $b$  پهنای نمونه و  $d$  ارتفاع نمونه است.

در شکل ۱۳ تصویر یک نمونه خمینی بعد از انجام آزمایش نشان داده شده است که حاکی از شکست ترد در نمونه است.



شکل ۶. نحوه قرارگیری نمونه کششی کوچک رزین پلی استر در دستگاه آزمایش.



شکل ۷. تصویر چند نمونه کششی کوچک رزین پلی استر بعد از انجام آزمایش و یک نمونه سالم.

در شکل ۸ نمودارهای نمونه‌ی تنش - کرنش رزین مورد مطالعه تحت نزخ‌های بازگذاری کششی مختلف نشان داده شده است. مطابق نمودارهای نشان داده شده، افزایش نزخ کرنش به افزایش چشمگیر استحکام می‌انجامد. همچنین می‌توان مشاهده کرد که تغییرات مدول کشسانی ناچیز و قابل صرف نظر کردن است. مدول کشسانی به دست آمده  $3/5$  گیگاپاسکال است.

تغییر استحکام و کرنش شکست رزین پلی استر بر حسب نزخ کرنش به ترتیب در شکل‌های ۹ و ۱۰ نشان داده شده است. مطابق نتایج به دست آمده، استحکام و کرنش شکست پلی استر با افزایش نزخ بازگذاری افزایش می‌یابد.

### جدول ۳. نتایج آزمایش خمس سه نقطه‌ی رزین پلی استر

نحوه	نیروی اعمالی پیشینه	پهنا	ارتفاع	استحکام خشی میانگین نتایج	(MPa)
۱	۱۴۰۹	۲۰/۰۴	۸/۴۲	۸۹/۳	۷
۲	۱۴۹۶	۲۰/۳۱	۸/۴۲	۹۳/۵	۶
۳	۱۲۰۰	۲۰/۲۳	۷/۲۱	۱۰۲/۶	۵
۴	۱۶۲۶	۲۰/۰۵	۸/۳۹	۱۰۳/۷	۴
۵	۱۷۷۳	۲۰/۰۴	۸/۴۲	۹۷/۳	۳

#### ۲.۳. آزمایش‌های فشاری و خمشه، یعنی پلیمری

نحوه دهد.  
شکل ۱۴ تصویر یک نمونه کوچک بتن پلیمری را در حال انجام آزمایش نشان می‌خورد. این پلیمر نیز در چهار نزدیکی شکل ۳۳ معرفی شده است.

در شکل ۱۵ تصویر تعدادی از نمونه‌های بتن بعد از انجام آزمایش فشاری نشان داده شده است.

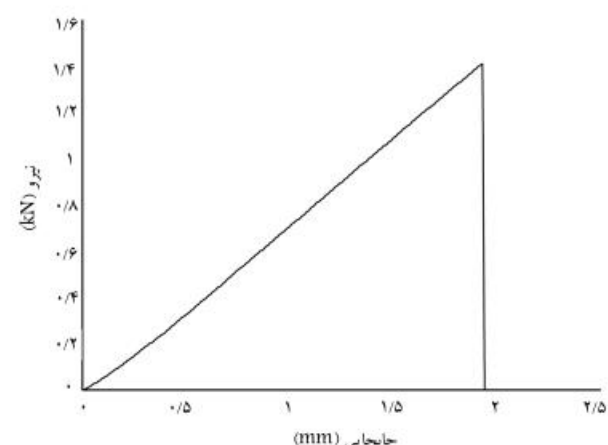
در شکل ۱۶ نمودارهای تنش-کرنش بتن پلیمری مورد مطالعه در نزد کرنش‌های مختلف تحت فشار نشان داده شده است.

در شکل ۱۷ تغییرات استحکام بتن پایه‌مری بر حسب نزد کرنش نشان داده شده است. مشابه نتایج به دست آمده برای بتن پایه‌مری، افزایش نزد بارگذاری فشاری به فراش حشمگیر استحکام فشاری بتن می‌انجامد.

نتایج آزمایش خمین سه نقطه روی چهار نمونه ساخته شده از بتن پالیمری در جدول ۴ ارائه شده است. استحکام خمینی با استفاده از رابطه ارائه شده در ستاندار آزمایش (رابطه (۲) به دست آمده است.<sup>[۱۷]</sup> در شکل ۱۸ یک نمونه بتن



شکل ۱۱. نوونی خش سه نقطه رزین پلی است به هنگام آزمایش.



شکل ۱۲. نسودار نیرو بر حسب جایه‌جایی در مرکز نمونه آزمایش خمین سه نقطه‌ی روزن پلی است.



شکل ۱۴. نحوه قارگی، نمونه فشاری، کوچک بت: بلسی، ۵، دستگاه آزمایش

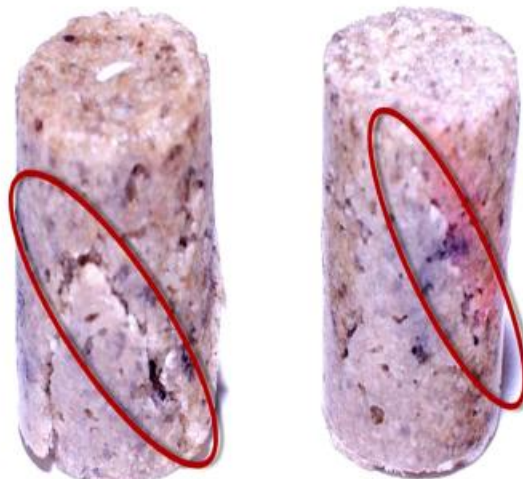
شکل ۱۳. یک نمونه خمسن سه نقطه‌ی رزین پلی استر بعد از انجام آزمایش.

جدول ۴. نتایج آزمایش خمش سه نقطه‌ی بتن پلیمری.

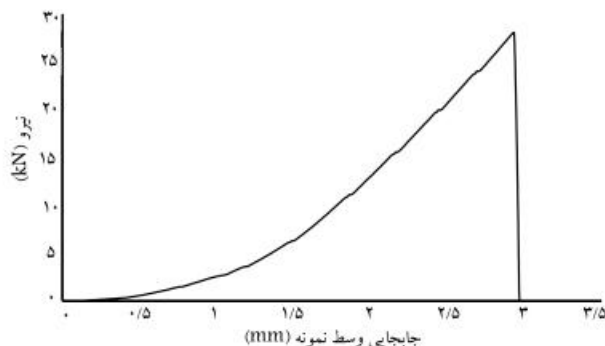
نمونه	بیشینه (N)	پهنا (mm)	ارتفاع (mm)	استحکام خشی (MPa)	میانگین نتایج (MPa)
۱	۲۳	۷,۴۲	۷,۵۵	۲۰,۳۹	۱۹,۶۹
۲	۲۱	۷,۴۳	۷,۵۵	۱۸,۵۹	
۳	۲۳	۷,۴۱	۷,۵۸	۲۰,۲۶	
۴	۲۲	۷,۴۴	۷,۵۴	۱۹,۵۰	



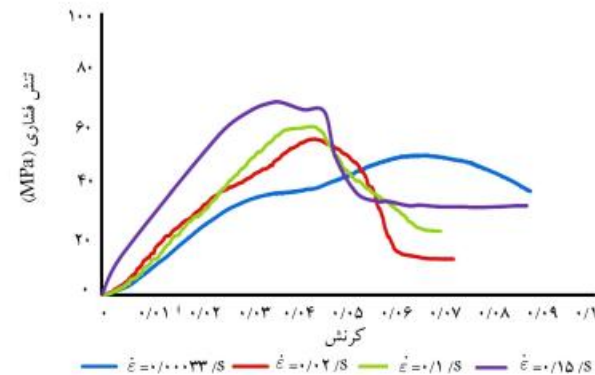
شکل ۱۸. نمونه خمش سه نقطه‌ی بتن پلیمری به‌هنگام آزمایش.



شکل ۱۵. سطح شکست در نمونه‌های فشاری کوچک بتن پلیمری.



شکل ۱۹. نمودار نیروی فشاری بر حسب جابه‌جایی عمودی وسط نمونه آزمایش خمش سه نقطه‌ی بتن پلیمری.

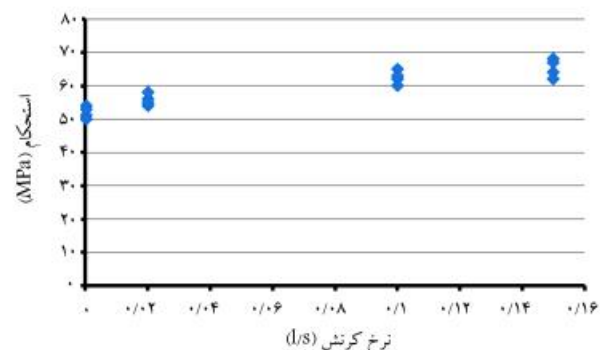


شکل ۱۶. نمودار تنش - گرنش نمونه‌های بتن پلیمری در نزخ گرنش‌های مختلف تحمت فشار.

پلیمری به‌هنگام آزمایش خمش سه نقطه نشان داده شده است. نمودار نیرو بر حسب جابه‌جایی در مرکز یک نمونه خمشی بتن پلیمری در شکل ۱۹ نشان داده شده است. در شکل ۲۰ سطح شکست در یک نمونه بتن پلیمری شکسته شده تحت بار خمشی نشان داده شده است.

#### ۴. بررسی رفتار مکانیکی بتن پلیمری

۱.۴. مقایسه‌ی رفتار مکانیکی بتن پلیمری با رزین پلی‌استر مقایسه‌ی نمودارهای تنش - گرنش پلیمر (شکل ۸) و بتن پلیمری (شکل ۱۶)، نشان می‌دهد که علی‌رغم تردی رفتار رزین پلی‌استر (رفتار خطی)، بتن پلیمری رفتاری نرم‌تر از خود نشان می‌دهد (رفتار غیرخطی). این موضوع را می‌توان با مقایسه‌ی



شکل ۱۷. نمودار تغییرات استحکام بتن پلیمری بر حسب نزخ گرنش.

جدول ۵. مقادیر میانگین استحکام فشاری رزین پلی استر و بتن پلیمری در نزخ کرنش‌های مختلف.

استحکام فشاری رزین پلی استر (MPa)	استحکام فشاری بتن پلیمری (MPa)	nezخ کرنش (1/s)
۱۱۱,۶۱	۹۳,۲۹	۰,۰۰۰۰۳
۱۲۷,۷۲	۹۰,۲۹	۰,۰۰۰۲
۶۳,۱۱	۵۵,۳۶	۰,۰۰۰۱
۶۵,۶۳		۰,۰۰۰۰۵
		۰,۱۵

گرفته است که به دلیل محدودیت تحقیقات انجام شده در زمینه‌ی رفتار دینامیکی بتن پلیمری، این مقایسه محدود به شرایط استاتیکی است. ترکیب بتن مطالعه شده [۲۸] شامل ۱۹ درصد وزنی رزین اپوکسی، ۰/۵ درصد وزنی الیاف شیشه و ۰/۵ درصد سنگدانه (شامل ۴۰ درصد وزنی پرکشته‌های سیلیسی و ۶ درصد وزنی مصالح دانه‌بندی شده با قطر ۲ تا ۴ میلی‌متر) است. استحکام فشاری بتن پلیمری اپوکسی با ترکیب بهینه‌ی داده شده [۲۸] ۶۳,۳۲ مگاپاسکال و نسبت استحکام فشاری بتن به استحکام فشاری تخمینی رزین اپوکسی مورد استفاده (با استفاده از رابطه‌ی ۱) برابر ۵۲ است. حال آن که استحکام فشاری بتن پلیمری مورد مطالعه در این تحقیق در نزخ کرنش استاتیکی ۵۱,۸۲ مگاپاسکال و نسبت استحکام فشاری بتن به استحکام فشاری تخمینی رزین پلی استر مورد استفاده (با استفاده از رابطه‌ی ۱) ۵۷ است. از مقایسه‌ی نسبت استحکام بتن به رزین، می‌توان نتیجه گرفت که استفاده از ماسه به جای ترکیب سنگدانه‌های ریز و درشت، سبب افزایش بارگذیری بتن پلیمری می‌شود. ضمن آن که با استفاده از رزین پلی استر به جای رزین اپوکسی، علی‌رغم کاهش ۱۱,۵۰ مگاپاسکالی (۱۸,۱۶ درصدی) استحکام، هزینه‌ی تولید بتن پلیمری کاهش چشمگیری می‌یابد. چراکه به طور میانگین، قیمت رزین پلی استر حدود یک‌چهارم قیمت رزین اپوکسی است.

مطابق تعریف انجمن بتن آمریکا<sup>۱</sup> بتن‌های با استحکام فشاری بالاتر از ۴۰ مگاپاسکال در دسته بتن‌های با استحکام بالا جای می‌گیرند [۲۹]. از آنجاکه استحکام فشاری بتن‌های سیمانی معمولاً به مرتب پایین‌تر از ۴۰ مگاپاسکال است، برای تولید بتن سیمانی با استحکام بالا یا در ترکیب آن‌ها از الیاف فولادی، پلی‌پروپیلن وغیره استفاده می‌شود و یا آن‌ها را با آرماتورهای فولادی یا کامبوزیتی تقویت می‌کنند. اما بر پایه‌ی تتابع به دست آمده، بتن پلیمری مورد مطالعه در این تحقیق علاوه بر داشتن قیمتی رقابتی با بتن سیمانی، بدون نیاز به هیچ‌گونه عامل تقویت کننده، بتن با استحکام بالا محسوب می‌شود.

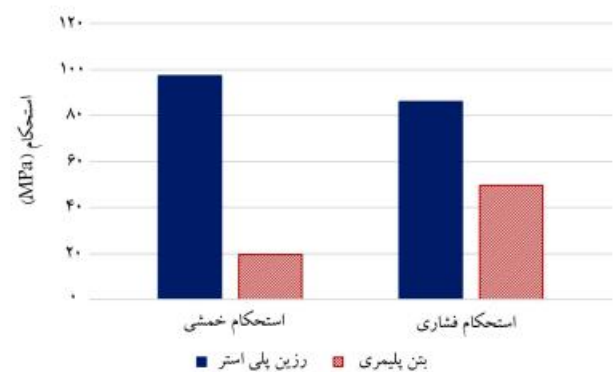
## ۵. نتیجه‌گیری

در این مطالعه ابتدا ترکیب جدیدی مبتنی بر رزین پلی استر و ماسه‌ی سیلیسی برای بتن پلیمری ارائه شد. سپس بتن پلیمری به عنوان یک ماده‌ی مرکب تحت بارگذاری شبه‌استاتیکی و دینامیکی (غیر‌استاتیکی) مورد بررسی قرار گرفت. برای تعیین خواص مکانیکی بتن و کیفیت مکانیکی آن، ابتدا رفتار رزین پلی استر به عنوان ماده‌ی زمینه تحت بارگذاری دینامیکی مطالعه شده و تتابع به دست آمده برای توضیح و تفسیر رفتار بتن پلیمری مورد استفاده قرار گرفت. مطابق تتابع حاصله، با توجه به این که رزین مورد استفاده به شدت به نزخ کرنش حساس است، می‌توان رفتار وابسته به نزخ کرنش بتن پلیمری را توجیه کرد. با بررسی آزمایش‌های صورت گرفته، تتابع استخراج شده عبارت است از:

۱. با توجه به نتایج به دست آمده، در محدوده‌ی نزخ بارگذاری مورد بررسی با افزایش نزخ کرنش مدول کشسانی رزین پلی استر تقریباً در مقادیر ۳/۵ گیگاپاسکال ثابت باقی مانده است. حال آن که استحکام و کرنش شکست با افزایش نزخ کرنش،



شکل ۲۰. سطح شکست در نمونه‌ی بتن پلیمری که تحت بار خشی قرار گرفته است.



شکل ۲۱. مقایسه‌ی استحکام خشی و فشاری رزین پلی استر و بتن پلیمری در نزخ کرنش شبه‌استاتیکی.

نودارهای خشی رزین پلی استر و بتن پلیمری (شکل‌های ۱۲ و ۱۹) نیز استباط کرد. می‌توان نتیجه گرفت با اضافه شدن سنگدانه و در تریجۀ افزایش نسبی چگالی مکه‌ها، رزین رفتار خطی خود را از دست می‌دهد. به نظر می‌رسد هنگامی که بتن پلیمری تحت بار فشاری قرار می‌گیرد، حفره‌های کوچک موجود در بتن در لحظه‌ی کوتاه متراکم می‌شوند که این منشأ رفتار غیرخطی بتن است. با افزایش نزخ کرنش، تراکم حفره‌ها سریع‌تر رخ می‌دهد و رفتار غیرخطی کاهش می‌یابد.

با استفاده از رابطه‌ی ۱، استحکام فشاری رزین پلی استر در نزخ کرنش شبه‌استاتیکی، ۹۰,۲۹ مگاپاسکال تخمین زده می‌شود که ۱/۵۸ برابر استحکام کششی آن (۵۶,۹۷ مگاپاسکال) است. بنابراین چنان که در شکل ۲۱ نشان داده شده است، استحکام فشاری بتن پلیمری ۵۷ است. استحکام فشاری رزین پلی استر است، همچنین با مقایسه‌ی جدول‌های ۳ و ۴، استحکام خشی بتن پلیمری ۱۹,۷ مگاپاسکال محاسبه می‌شود که ۲۰ استحکام خشی رزین پلی استر (۹۷,۳ مگاپاسکال) است. مقادیر میانگین استحکام فشاری رزین پلی استر (با استفاده از رابطه‌ی ۱) و بتن پلیمری در نزخ کرنش‌های مختلف، در جدول ۵ با هم مقایسه شده است.

## ۲.۴. مقایسه‌ی رفتار مکانیکی بتن پلیمری مورد مطالعه با بتن‌های پلیمری و سیمانی متداول

به منظور تعیین مقدار بهبود ویژگی‌های مکانیکی بتن ساخته شده در مقایسه با دیگر بتن‌های پلیمری متداول (با دانه‌بندی معمول)، مقایسه‌ی میان خواص مکانیکی بتن پلیمری مورد مطالعه و بتن پلیمری اپوکسی با ترکیب بهینه‌ی داده شده [۲۸] صورت

قرار گرفت. در این آزمایش‌ها نیز رزین رفتار بسیار تردی از خود نشان داد و نیز مشاهده شد که استحکام خمشی بتن پلیمری  $20^{\circ}$  درصد استحکام خمشی رزین پلی استر است.

۵. به منظور بررسی عملکرد بتن پلیمری با ترکیب جدید پیشنهادی، مقایسه‌ی میان این بتن و بتن پلیمری با ترکیب پهنه‌ی داده شده<sup>[۲۸]</sup> صورت گرفت و مشاهده شد که علی‌رغم کاهش  $11/5^{\circ}$  درصدی استحکام فشاری، نسبت استحکام بتن به استحکام رزین در بتن پلیمری مورد مطالعه بیشتر است، اگرچه هزینه‌ی ساخت این بتن نیز کمتر است. همچنین مشاهده شد استحکام فشاری بتن پلیمری مورد مطالعه بالاتر از بتن‌های سیمانی معمول بوده و در دسته بتن‌های با استحکام بالا جای می‌گیرد.

افزایش می‌باید و با افزایش نزدیکی رزین از مقدار  $33^{\circ}$  تا  $15^{\circ}$  بر ثانیه، استحکام کششی رزین  $41^{\circ}$  درصد افزایش می‌باید.

۲. مشاهده شد که با افزایش نزدیکی رزین از مقدار  $33^{\circ}$  تا  $15^{\circ}$  بر ثانیه، استحکام فشاری بتن پلیمری  $27^{\circ}$  درصد افزایش می‌باید.

۳. با مقایسه‌ی رفتار مکانیکی رزین پلی استر با بتن پلیمری مورد مطالعه، ملاحظه شد که رفتار رزین پلی استر تا لحظه‌ی شکست خطی و ترد است، حال آن که رفتار بتن پلیمری غیرخطی و نرم است. همچنین مشاهده شد استحکام فشاری بتن پلیمری  $57^{\circ}$  درصد استحکام فشاری رزین پلی استر است.

۴. رفتار بتن پلیمری و رزین پلی استر با انجام آزمایش خمشی نیز مورد بررسی

## پانوشت‌ها

1. Polymer concrete
2. American concrete institute committee

## منابع (References)

1. American Concrete Institute Committee 548, "Guide for the use of polymers in concrete", ACI 548.1R-09, pp. 97-126 (2009).
2. Jo, B.W., Park, S.K. and Park, J.C. "Mechanical properties of polymer concrete made with recycled PET and recycled concrete aggregates", *Construction and Building Materials*, **22**, pp. 2281-2291 (2008).
3. Blaga, A. and Beaudoin, J.J. "Polymer concrete", Division of Building Research, National Research Council Canada, Canadian Building Digest 241, Ottawa (1985).
4. Ohama, Y. "Recent progress in polymer mortar and concrete in Japan", *Proceedings of the Second East Asia Symposium on Polymers in Concrete (II - EASPIC)*, London, pp. 21-30 (1997).
5. Elahi, M. "Estimation of elastic behavior of polymer concrete using micromechanical methods", MSc Thesis, Department of Mechanical Engineering, Iran University of Science and Technology, Tehran (2011). (In Persian)
6. Kashizadeh, E. "Effect of heating and cooling cycles on mechanical properties of polymer concrete", MSc Thesis, Department of Mechanical Engineering, Iran University of Science and Technology, Tehran (2008). (In Persian)
7. Camille, A. and Pauls, D. "Experimental study of epoxy repairing of cracks in concrete", *Construction and Building Materials*, **21**, pp. 157-63 (2007).
8. Shokrieh, M.M. and Heidari-Rarani, M. "Design and manufacturing of drinking water filtration slabs using polymer concrete", *Proceedings of 1th International Conference on Non-Osmosis Concrete & Water Storage Tanks*, Iran, pp. 25-27 (May 2011).
9. American Concrete Institute Committee 548, "Guide for polymer concrete overlays", ACI 548.5R-94, pp. 1-26 (1998).
10. American Concrete Institute Committee 548, "Polymer concrete-structural applications state-of-the-art-report", ACI 548.6R-96, pp. 1-23 (1996).
11. Fowler, D.W. "Polymers in concrete, a vision for the 21st century", *Cement and Concrete Composites*, **21**, pp. 449-452 (1999).
12. Muszynski, L.C. "Polymer concrete", *Encyclopedia of Polymer Science and Engineering*, New York, Wiley, **12**, pp. 462-470 (1988).
13. Ohama, Y. "Recent progress in concrete polymer composites", *Cement and Concrete Composites*, **5**, pp. 31-40 (1997).
14. Rao, V.V.L.K. and Krishnamoorthy, S. "Influence of resin and microfiller proportions on strength, density and setting shrinkage of polyester polymer concrete", *Aci Structural Journal*, **95**, pp. 153-162 (1998).
15. Abdel-Jawad, Y.A. and Abdullah, W.S. "Design of maximum density aggregate grading", *Construction and Building Materials*, **16**, pp. 495-508 (2002).
16. Golestaneh, M., Amini, G., Najafpour, G.D. and Beygi, M.A. "Evaluation of mechanical strength of epoxy polymer concrete with silica powder as filler", *World Applied Sciences Journal*, **9**, pp. 216-220 (2010).
17. Heidari-Rarani, M., Aliha, M.R.M., Shokrieh, M.M., Ayatollahi, M.R. "Mechanical durability of an optimized polymer concrete under various thermal cyclic loadings-an experimental study", *Construction and Building Materials*, **64**, pp. 308-315 (2014).
18. Reis, J.M.L. "A comparative assessment of polymer concrete strength after degradation cycles", *Mechanics of Solids in Brazil*, Brazilian Society of Mechanical Sciences and Engineering, pp. 437-444 (2009).
19. Vila, D.M. and Hamelin, P. "Polymer concrete under impact loading", *Progress and Trends in Rheology*, **2**, pp. 228-231 (1988).



20. Chen, W. Lu, F. Cheng, M. "Tension and compression tests of two polymers under quasi-static and dynamic loading", *Polymer Testing*, **21**, pp. 113-121 (2002).
21. Sarva, S.S., Deschanel, S., Boyce, M.C. and Chen, W. "Stress-strain behavior of a polyurea and a polyurethane from low to high strain rates", *Polymer*, **48**, pp. 2208-2213 (2007).
22. Sivouri, C.R., Walley, S.M., Proud, W.G. and Field, J.E. "The high strain rate compressive behaviour of polycarbonate and polyvinylidene difluoride", *Polymer*, **46**, pp. 12546-12555 (2005).
23. Van Krevelen, D.W. and Te Nijenhuis, K., *Properties of Polymers*, Fourth Edition, Amsterdam, Elsevier, pp. 456-459 (2009).
24. ASTM D 638, Standard Test Method for Tensile Properties of Plastics (2000).
25. ASTM D790-10, Standard Test Methods for Flexural Properties of Unreinforced and Reinforced Plastics and Electrical Insulating Materials (2007).
26. ASTM C 39-49, Compressive Strength of Molded Concrete Cylinders (2002).
27. ASTM C 293-54T, Flexural Strength of Concrete Using Simple Beam with Center-Point Loading (2002).
28. Shokrieh, M.M., Heidari-Rarani, M., Shakouri, M. and Kashizadeh, E. "Effects of thermal cycles on mechanical properties of an optimized polymer concrete", *Construction and Building Materials*, **25**, pp. 3540-3549 (2011).
29. American Concrete Institute Committee 363, *State-of-the-Art-Report on High-Strength Concrete*, ACI 363R-92, pp. 55 (1992).